



تقييم أداء بعض نماذج البحـرـفتح المرجعي في مناطق جبلية وساحلية من ليبيا

*نوال بالقاسم عبد السميع¹ و علي العقاب اخنifer²

¹قسم الهندسة الزراعية-كلية الزراعة-جامعة عمر المختار

²قسم التربة والمياه-كلية الزراعة جامعة عمر المختار

للمراسلة: nawalbelgasim@yahoo.com*

الملخص أجريت هذه الدراسة لغرض تقييم أداء تسع معادلات لحساب البحـرـفتح المرجعي قياساً بمعادلة الفاو بنمان-مونتيث القياسية (FAO56 Penman-Monteith)، وتحديد أفضل بديل لها من بين المعادلات المستخدمة في المنطقة الساحلية وهي ممثلة بمواقع بنينا وسرت وطرابلس والمنطقة الجبلية وهي ممثلة بموقعي شحات ونالوت. المعادلات المستخدمة تشمل معادلة الفاو الإشعاعية (FAO24) وسرت وطرابلس والمنطقة الجبلية وهي ممثلة بموقعي شحات ونالوت. المعادلات المستخدمة تشمل معادلة الفاو بلاني-Radiation ومعادلة بريستلي-تايلور (Priestley-Taylor) ومعادلة ماكينك (Makkink) ومعادلة تورك (Turc) ومعادلة الفاو بلاني-كريبل (FAO24 Blaney-Criddle) ومعادلة هارقريفز-ساماني (Hargreaves-Samani) ومعادلة ثورنثويت (Thornthwaite) ومعادلة خروفة (Khosla) ومعادلة خوسلا (Kharrufa). أظهرت النتائج اختلاف أداء المعادلات في المنطقتين، فأعطت بعض المعادلات زيادة في تقدير البحـرـفتح مقارنة بالمعادلة القياسية مثل معادلة الفاو الإشعاعية، وبعضها الآخر فـلت في تقدير البحـرـفتح مثل معادلة تورك، ومعادلة ماكينك، ومعادلة هارقريفز-ساماني، ومعادلة ثورنثويت. بينما أظهرت معادلات أخرى زيادة في أشهر وتقليل في أشهر أخرى مثل معادلة الفاو بلاني-كريبل ومعادلة خروفة، ومعادلة بريستلي-تايلور. تم إجراء المقارنات باستخدام المعايير الإحصائية التالية وهي الجذر التربيعي لمتوسط مربع الخطأ، ومتوسط خطأ التحيز، ونسبة متوسط خطأ التحيز، ودليل التوافق، ومعامل التحديد، وكفاءة النموذج، واختبار (t). أظهرت نتائج التحليل الإحصائي تفـوق أداء معادلة الفاو بلاني-كريبل على جميع المعادلات المستخدمة في منطقتنا الدراسـة حيث كانت في المرتبة الأولى في المنطقة الجبلية، والمنطقة الساحلية باستثناء موقع طرابلس. بـينـت النتائج أن أداء معادلة ثورنثويت وخوسلا كان ضعيفاً جداً مقارنة بالمعادلة القياسية في منطقتـي الـدرـاسـة، أما بـقـيةـ المعـادـلاتـ فـكانـ أدـاؤـهـاـ مـتفـقاـنـاـ مـقارـنةـ بالـمعـادـلةـ الـقيـاسـيـةـ. أـظـهـرـ اختـبارـ (t)ـ فـروـقاـ مـعـنـوـيـةـ بـيـنـ نـتـائـجـ الـمـعـادـلـةـ الـقـيـاسـيـةـ وـنـوـاتـجـ جـمـيـعـ الـمـعـادـلـاتـ الـمـسـتـخـدـمـةـ فـيـ منـطـقـتـيـ الـدـرـاسـةـ، باـسـتـثـنـاءـ مـعـادـلـتـيـ الفـاوـ بلـانـيـ كـريـبلـ خـروـفـةـ فـيـ شـحـاتـ وـنـالـوتـ، وـمـعـادـلـةـ بـرـيسـتـليـ تـايـلـورـ فـيـ سـرـتـ، وـمـعـادـلـةـ الفـاوـ الإـشـعـاعـيـةـ فـيـ طـرـابـلـسـ.

الكلمات المفتاحية: البحـرـفتح المرجعي،الفاو بنمان-مونتيث، الفاو بلاني-كريبل، الفاو الإشعاعية، خروفة .

Evaluation of reference evapotranspiration models in coastal Mediterranean and mountainous regions of Libya

*Nawal Belgasim Abdasamea¹, Ali Agab Ikheneifer²

¹Department of Agricultural Engineering, Faculty of Agriculture, Omar Al-Mukhtar University

²Department of Soil and Water Sciences, Faculty of Agriculture, Omar Al-Mukhtar University

*Corresponding author: nawalbelgasim@yahoo.com

ABSTRACT This research was carried out to evaluate performance of nine reference evapotranspiration (ET_0) models against the standard FAO Penman-Monteith model and identify suitable alternative models to FAO Penman-Monteith at mountainous and coastal regions of Libya. Shahat and Nalut sites represents mountainous region and Benghazi, Sirt and Tripoli sites representing coastal region of Libya. The models tested against the standard FAO Penman-Monteith model were the FAO Radiation, FAO Blaney Criddle, Hargreaves-Samani, Priestley-Taylor, Makkink, Turc, Thornthwaite, Kharrufa, and Khosla. The results illustrate that FAO Radiation model overestimated standard ET_0 values. In contrast, the models of Hargreaves-Samani, Makkink, Turc and Thornthwaite underestimated standard ET_0 values. However, models of FAO Blaney-Criddle, Priestley-Taylor and Kharrufa overestimated standard ET_0 values in some months and underestimated standard ET_0 values in other months. The statistical criterions used are index of agreement, modeling efficiency, root mean square error, mean bias error, % mean bias error, coefficient of determination and t-test. Statistical results reveal that the FAO Blaney-Criddle model had superior performance among the other models. FAO Blaney-Criddle model ranked the first in Mountainous and coastal regions except in Tripoli site. Thornthwaite and Khosla models performed poorly in the all study sites. All other models performed irregularly different. T-test analysis at 5 % level of significance indicated that there are significant differences between the standard FAO Penman-Monteith and all models in both regions, except FAO Blaney-Criddle and Kharrufa models in Shahat and Nalut sites, Priestley-Taylor model in Sirt site and FAO Radiation model in Tripoli site.

Keywords: reference evapotranspiration, FAO Penman-Monteith, FAORadiation, FAOBlaney-Criddle, Kharrufa.

مقدمة:

بنمان وطريقة حوض البحار [9] ، ولكن أظهرت عدة أبحاث عدم دقة الطرق الموصي بها في موقع مختلفة من العالم [10][1]. توجد حاجة دائمة لتوفير بيانات عن البحر-نتح خلال فترة وجيزة لغرض التخطيط لمشاريع الري وتصميمها وإدارتها، ولتنمية هذه الحاجة وفي إطار التطوير والتحديث أوصت منظمة الأغذية والزراعة (FAO) التابعة للأمم المتحدة في سنة 1990 بإعتماد معادلة بنمان-مونتيث (Penman-Monteith) لتقدير البحر-نتح المرجعي (ET_0) في جميع أنحاء العالم وأعتبرت المعادلة القياسية [1]. أجريت العديد من الدراسات والبحوث قياساً بمعادلة الفاو بنمان-مونتيث لتقدير النماذج المرجعية الأخرى خصوصاً التي لا تتطلب بيانات كثيرة [12][13][14][15]. ظهرت في القرن الماضي العديد من المعادلات التجريبية البسيطة التي شاع استخدامها لحساب البحر-نتح المرجعي بسبب قلة البيانات المطلوبة لتطبيقها. أقدم هذه المعادلات التي تم استخدامها في مناطق مختلفة من العالم معادلة ثورنثويت [16] التي طُرحت سنة 1948 ويطلب تطبيقها درجة الحرارة ومعادلة بلاني-كريدل [17] التي استبقتها الباحثان سنة 1950 ويطلب تطبيقها أيضاً درجة الحرارة. كما اشتهرت معادلة ماكينك (Makkink) [18] التي طُرحت سنة 1957 ويعتمد تطبيقها على بيانات الإشعاع لتقدير البحر-نتح المرجعي. أما في سنة 1961 فظهرت معادلة تورك (Turc) [19] التي يلزم لتطبيقها توفر درجة الحرارة والإشعاع الشمسي. إضافة إلى ذلك شاع استخدام معادلة بريستلي وتايلور (Priestley and Taylor) [20] المطورة سنة 1971 وهي مشتقة من معادلة بنمان الأصلية، ويطلب تطبيق معادلة بريستلي وتايلور صافي الإشعاع الشمسي ودرجة الحرارة. كما انتشر استخدام معادلة هارقريفز وسماني [21] التي طورت في منتصف ثمانينات القرن الماضي ويتطلب استخدامها توفر درجة الحرارة. أجريت دراسة لمقارنة وتقدير أداء عشرون معادلة مختلفة لتقدير البحر-نتح المرجعي تحت ظروف مناخية متباعدة باستخدام بيانات من ليسيمترات في إحدى عشر موقعًا عبر العالم، أكدت الدراسة على وجود تباين واسع في أداء هذه الطرق تحت ظروف مناخية مختلفة [22]. نُشرت حديثاً الكثير من الدراسات لمقارنة وتقدير أداء مختلف أنواع نماذج البحر-نتح المرجعي تحت ظروف مناخية متباعدة لتحديد أجودها

يُقصد بالاستهلاك المائي للنبات مجموع ما يُفقد من الماء عن طريق النتح والبحر، أي كمية المياه التي تتصبها جذور النباتات وتقوم باستهلاكها في بناء أنسجتها وتصر خلال أوراقها إلى الجوخارجي بالإضافة إلى كمية المياه المتاخرة من السطوح المختلفة وأصطلاحعلى تسميته بالبحر-نتح.أدخل مفهوم البحر-نتح المرجعي لدراسة القدرة التخbirية للجو بدون الإعتماد على نوع المحصول ومدى تطوره والممارسات الإدارية المتبعة، عرف خبراء الفاو البحر-نتح المرجعي بأنه معدل البحر-نتح من محصول عشبي افتراضي له طول يبلغ 0.12 متر ومقاومة سطحية ثابتة مقدارها 70 ثانية/متر وانعكاسية 0.23 متر ويشبه إلى حد كبير البحر-نتح من سطح عشبي أحضر شاسع المساحة وبارتفاع منتظم وينمو بشكل فعال ويظل التربة بشكل كامل ولا يعاني من نقص في الماء [1].يعتبر قياس البحر-نتح أمراً مكلفاً وغير سهلاً بسبب الحاجة إلى توفير أجهزة وأدوات خاصة لإجراء القياسات، وتستخدم أجهزة القياس غالباً في البحوث بواسطة فريق بحثي متخصص ذي خبرة جيدة [2][3][4]. نظراً لصعوبة الحصول على قياسات حقلية مباشرة للبحر-نتح، إتجه المختصون إلى تقديره بإدخال قياسات مناخية محلية (مثل درجة الحرارة والرطوبة النسبية والإشعاع الشمسي وسرعة الرياح) في معادلات تسمى نماذج رياضية (models). يمكن تصنيف معادلات أو نماذج تقدير البحر-نتح المرجعي إلى ثلاثة مجموعات وهي النماذج الإشعاعية والنماذج الحرارية والنماذج المركبة [5]. طُرحت في العقود الأخيرة من القرن الماضي، بواسطة عدد كبير من العلماء والباحثين في مختلف أنحاء العالم، الكثير من النماذج الرياضية المتباعدة في فرضياتها وخلفياتها النظرية لاستخدامها في تقدير البحر-نتح المرجعي من العوامل المناخية المختلفة. اهتمت الدراسات ذات العلاقة بالبحر-نتح بتحديث النماذج الرياضية الخاصة بتقدير معادلات البحر-نتح للتوصيل إلى الأفضل والأسهول في التطبيق [6]. طُرحت بنمان (Penman) [7] معادلة نظرية لحساب البحر من سطح ماء مفتوح وترفة غير مغطاة ثم حور مونتيث (Monteith) [8] طريقة بنمان للوصول إلى ما يُعرف الآن بطريقة بنمان-مونتيث (Penman-Monteith) والتي يمكن استعمالها مباشرة في حساب البحر-نتح المرجعي. أوصت منظمة الأغذية والزراعة في سنة 1977 باستعمال طريقة الفاو بلاني-كريدل وطريقة الفاو الإشعاعية وطريقة الفاو

**جدول (1): الإحداثيات الجغرافية لمحطات الأرصاد الجوية
(المركز الوطني للأرصاد الجوي)**

اسم المحطة	خط الطول (شرق)	خط العرض (شمال)	الارتفاع (متر)
شحات	21°53'	32°48'	649
نالوت	059 10'	052 31'	621
بنيانا	020 16'	032 05'	130
سرت	016 35'	013 12'	13
طرابلس	013 09'	032 40'	81

أُستخدم برنامج Ref-ET الإصدار 4.1 (2016) لحساب البحر-نتح المرجعي بالطرق التالية: طريقة الفاو بنمان-مونتيث (FAO56 Penman-Monteith) وطريقة الفاو الإشعاعية (FAO24 Radiation) وطريقة الفاو بلاني-كريدل (FAO24 Blaney-Criddle) وطريقة تورك (Turc) وطريقة هارقريفز-ساماني (Hargreaves-Samani) وطريقة بريستلي-تايلور (Priestley-Taylor) وطريقة ماكنك (Makkink). أما قييم البحر-نتح المرجعي بالطرق الأخرى فتم حسابها بالاستعانة ببرنامج الحاسوب ميكروسوفت إكسيل (Microsoft Excel). Ref-ET هو برنامج حاسوب طور برعاية جامعة أيداهو الأمريكية ومعد خصيصاً لحساب البحر-نتح المرجعي بخمسة عشر طريقة شائعة، من ضمنها طريقة بنمان-مونتيث القياسية للجمعية الأمريكية للمهندسين المدنيين (ASCE) وكذلك طريقة الفاو بنمان-مونتيث القياسية، ولمعرفة المزيد عن خصائص البرنامج وكيفية استخدامه يرجى الاطلاع على دليل المستخدم الخاص بالبرنامج [36]. لمقارنة وتقييم جودة المعادلات في حساب البحر-نتح المرجعي أجريت تحاليل إحصائية لاختلافات بين الطرق المختلفة ومعادلة الفاو بنمان-مونتيث بإستخدام معايير إحصائية أوصت بها بعض الدراسات الإحصائية [37]، [38] وشائعة التطبيق في دراسات البحر-نتح [11]، [12]، [13] [14]. المعايير الإحصائية المستخدمة هي متوسط خطأ التحيز (Mean Bias Error, MBE) ومعامل التحديد (Mean Bias Error, MBE) والجزر التربيعي (Determination Coefficient, R²) (Root Mean Square Error, RMSE) لمتوسط مربع الخطأ (RMSE) واختبار تي (t-test) والسبة المئوية لمتوسط خطأ التحيز (Percental Mean Bias Error, % MBE) (Modeling) وكفاءة النموذج (Index of agreement, d) (Efficiency, E). تم حساب الجزر التربيعي لمتوسط مربع الخطأ (RMSE) ومعامل التحديد (R²) ومتوسط خطأ التحيز (MBE) والسبة المئوية لمتوسط خطأ التحيز (%) (MBE) واختبار تي (t-test) بتطبيق الصيغ الرياضية لتلك للمعايير

في كل منطقة مناخية، شملت الدراسات مناخات متباينة في مختلف الدول والفترات [24][25][26][27][30][31][32][33][34][35]. على الرغم من مميزات معادلة الفاو بنمان-مونتيث القياسية كالدقة العالية المتحصل عليها إلا إن تطبيقها يتطلب عدة بيانات مناخية أساسية قد لا تتوفر في جميع محطات الأرصاد الجوية [1]، [34]. أدى عدم توفر بعض البيانات المناخية الازمة لتطبيق معادلة بنمان-مونتيث إلى الإستمرار في استخدام بعض المعادلات التجريبية البسيطة التي يسهل تطبيقها وتتوفر مدخلاتها المناخية في معظم محطات الأرصاد الجوية [33]. لذلك تظهر الحاجة في كل منطقة مناخية إلى معادلة بسيطة يتطبقها بيانات مناخية محددة ومتاحة ونتائجها قريبة من معادلة الفاو بنمان-مونتيث ليتم استخدامها في الأغراض المختلفة. تهدف هذه الدراسة إلى تقييم أداء تسع معادلات لحساب البحر-نتح المرجعي قياساً بمعادلة الفاو بنمان-مونتيث في مناطق جبلية وتشمل شحات ونالوت وأخرى ساحلية وتشمل بنيانا وسرت وطرابلس وتحديد أفضل بديل لمعادلة بنمان-مونتيث في كل منطقة من بين معادلات البحر-نتح المرجعي المستخدمة.

المواد وطرق الدراسة:

أجريت هذه الدراسة على بيانات مناخية رُصدت بمحطات الأرصاد الجوية في مناطق الدراسة ويبين جدول (1) أسماء المحطات وإحداثياتها الجغرافية، والبيانات المناخية المستخدمة تغطي فترة ثلاثون سنة تمت من سنة 1961 إلى سنة 1990م وتم الحصول عليها من المركز الوطني للأرصاد الجوي. تُعطي هذه الدراسة منطقتين مختلفتين مناخياً هما المنطقة الجبلية والمنطقة الساحلية من ليبيا، المنطقة الجبلية ممثلة بموقعي هما شحات ونالوت، والمنطقة الساحلية ممثلة بثلاثة مواقع هي بنغازي وسرت وطرابلس. البيانات المناخية المستخدمة (وهي متوسطات شهرية لبيانات يومية) تشمل متوسطات درجات الحرارة العظمى والصغرى ومتوسطات درجات الحرارة عند نقطة الندى ومتوسطات درجات حرارة الترمومتر الجاف والترمومتر المبلل ومتوسطات الرطوبة النسبية ومتوسطات سرعة الرياح ومتوسطات عدد ساعات السطوع الشمسي.

3. معادلة ثورنثويت TW (Thorntwaite, 1948) :
تعتمد معادلة TW على درجة الحرارة فقط، وتكتب المعادلة كالتالي [15]:

$$ET_m = 1.6 \left(\frac{10 T_m}{I} \right)^a$$

حيث أن: ET_m = البخار-نتح المرجعي الشهري (المليمتر).
= معامل (دليل) الحرارة لفترة 12 شهراً ويعحسب كالتالي:

$$I = \sum_{i=1}^{12} \left(\frac{T_m}{5} \right)^{1.514}$$

حيث أن:

$$a = 6.75 \times 10^{-7} I^3 - 7.71 \times 10^{-5} I^2 + 1.792 \times 10^{-2} I + 0.49239$$

= تدل على كل شهر من أشهر السنة.

4. معادلة هارقريفز-ساماني : H-S (Hargreaves and Samani, 1985)
تعتمد معادلة H-S على درجة الحرارة وتأخذ الصيغة التالية [42]:

$$ET_o = 0.0023(T_{max} - T_{min})^{0.5} (T_m + 17.8) R_a$$

حيث أن:

T_{max} = درجة الحرارة العظمى ($^{\circ}\text{م}$).
 T_{min} = درجة الحرارة الصغرى ($^{\circ}\text{م}$).
 R_a = الإشعاع الشمسي الواصل إلى الغلاف الجوي (ميغا جول/ $\text{م}^2/\text{يوم}$).

5. معادلة خروفة KF (Kharrufa, 1985)
تعتمد معادلة KF على درجة الحرارة فقط، وتكتب في الصيغة التالية [42]:

$$ET_m = 0.34 p T_m^{1.34}$$

حيث أن:

p = النسبة المئوية لعدد الساعات المضيئة خلال شهر إلى عدد الساعات المضيئة خلال عام.

6. معادلة خوسلا KS (Khosla, 1949)
تعتمد معادلة KS على درجة الحرارة فقط، وتأخذ الصيغة التالية [43]:

$$ET_m = 4.813 T_m$$

7. معادلة ماكينك MK (Makkink, 1957)
تعتمد معادلة MK على درجة الحرارة والإشعاع، وتأخذ الصيغة التالية [15]:

$$ET_o = 0.61 \frac{\Delta}{\Delta + \gamma} \frac{R_s}{\lambda} - 0.12$$

حيث أن:

الإحصائية التي أوردها كوردوفا وآخرون [25] وصايزيرفار وطيري [40]، أما دليل التوافق (d) وكفاءة النموذج (E) فتم حسابهما وفقاً للصيغ الرياضية للمعياريين الواردة في دراسات كل من قاو وآخرون [11] وباندي وآخرون [12] وشيخ ومحمد [41].

المعادلات المستخدمة في الدراسة:

1. معادلة الفاو بنمان-مونتيث (FAO P-M (FAO56Penman- Monteith)

تعطي معادلة FAO P-M قيم مقاربة للإستهلاك المائي الفعلي للمحاصيل في جميع أنحاء العالم وهي المرجعية في هذه الدراسة وصيغتها الرياضية كالتالي [1]:

$$ET_o = \frac{0.408\Delta(R_n - G) + \gamma \frac{900}{T_{av} + 273} U_2(e_s - e_a)}{\Delta + \gamma(1 + 0.34 U_2)}$$

حيث أن: ET_o = البخار-نتح المرجعي ($\text{مم}/\text{يوم}$).
 U_2 = سرعة الرياح عند ارتفاع مترين ($\text{م}/\text{ث}$).
 e_a = ضغط البخار الفعلي (كيلو باسكال).
 G = شدة تدفق حرارة التربة (ميغا جول/ $\text{م}^2/\text{يوم}$).
 e_s = ضغط البخار المشبع (كيلو باسكال).
 T_{av} = متوسط درجة حرارة الهواء اليومية ($^{\circ}\text{م}$) عند ارتفاع مترين.
 U = ثابت جهازقياس الرطوبة السايكومتر (كيلو باسكال/ $^{\circ}\text{م}$).
 R_n = صافي الإشعاع الشمسي عند سطح المحصول (ميغا جول/ $\text{م}^2/\text{يوم}$).
 Δ = ميل منحنى ضغط البخار المشبع (كيلو باسكال/ $^{\circ}\text{م}$).

2. معادلة الفاو بلاني-كريدل (FAO24 Blaney-Criddle)

تعطي معادلة FAO B-C نتائج مقبولة تحت ظروف المناطق شبه الجافة والجافة، وهذه المعادلة تحتاج إلى درجة الحرارة فقط، وصيغتها الرياضية كالتالي [9]:

$$ET_o = c [P(0.46 T_m + 8)]$$

حيث أن:

T_m = متوسط درجة حرارة الهواء ($^{\circ}\text{م}$).
 P = المتوسط اليومي للنسبة المئوية لإجمالي ساعات النهار السنوية للشهر المحدد وخط العرض المحدد. c = معامل يعتمد على أدنى نسبة رطوبة للجو وساعات الإضاءة في اليوم وسرعة الرياح في النهار وتستخدم منحنيات خاصة لتقدير قيمة ET_o وذلك حسب نسبة الرطوبة الجوية الدنيا ونسبة ساعات السطوع الشمسي وسرعة الرياح في النهار.

أعطت بعض المعادلات زيادة في قيم ET_0 المقدرة بينما بعضاً الآخر أعطت قيمةً ناقصة لتوافر ET_0 مقارنةً بالمعادلة القياسية. كانت أكبر زيادة في تقديرات ET_0 لمعادلة KF في شحات ونالوت خلال شهر سبتمبر بمقدار 35.52 % و 16.82 % على التوالي، ثم ثلثها معادلة الفاو الإشعاعية حيث زادت في تقدير ET_0 في شحات ونالوت خلال شهر يوليوب بمقدار 25.93 % و 13.29 % على التوالي. بينما كانت أقصى زيادة ناتجة من معادلة FAO B-C في شحات خلال شهر يونيو بمقدار 11.83 % وفي نالوت خلال شهر يونيو وبمقدار 12.57 %. قللَت معادلات TW و KS و TC و P-T و MK في تقديرات ET_0 مقارنةً بمعادلة FAO P-M. كان أكبر تقليد في تقديرات ET_0 لمعادلة TW خلال شهر فبراير في موقع شحات بمقدار -64.94 %، بينما كان أكبر تقليد في موقع نالوت خلال شهر يناير بمقدار -81.49 %. كان أكبر انخفاض في تقديرات ET_0 لمعادلة KS خلال شهر مايو في شحات ونالوت بمقدار -52.33 % و -47.31 % على التوالي. قللَت كلٌّ من معادلات H-S و TC و MK في تقديرات ET_0 خلال كلِّ أشهر السنة في موقع شحات ونالوت بنسبي مقاومة تتراوح بين -3.05 % و -38.50 % في شحات، وبين -47.19 % و -14.53 % في نالوت. كذلك أظهرت معادلات أخرى زيادة في أشهر وتقليد في أشهر أخرى مثل معادلة KF ومعادلة P-T ومعادلة C-FAO B-C. تبيّن المنحنيات في الأشكال (3) و (4) و (5) أداءً المعادلات في مواقع المنطقة الساحلية، ويُوضّح من المنحنيات أن كلًّ من معادلة FAO RD ومعادلة KF زادت في تقديرات ET_0 مقارنةً بالمعادلة القياسية. كما يتضح من المنحنيات أيضًا أن معادلات TC و TW و MK و H-S و KS أعمد في تقديرات ET_0 مقارنةً بالمعادلة القياسية. أعطت معادلة P-T تقديرات مرتفعة لقيم ET_0 مقارنةً بالمعادلة القياسية في سرت، بينما أعطت تقديرات منخفضة لقيم ET_0 في بنغازي وطرابلس. كانت أكبر زيادة في تقديرات لقيم ET_0 لمعادلة KF في سرت، وطرابلس، وبنغازي ونسبة الزيادة هي 52.01 %، و 39.36 %، و 33.30 % على التوالي. بينما كانت أكبر زيادة في قيم ET_0 لمعادلة FAO RD في سرت وبنغازي بنسبة تتراوح بين 23.71 % و 16.76 % على التوالي، أما في طرابلس فأظهرت معادلة FAO B-C أكبر زيادة في تقدير ET_0 بعد معادلة KF بمقدار 13.98 %. كانت أكبر زيادة في تقديرات ET_0 لمعادلة FAO B-C بنسبة 13.98 % في طرابلس وبنسبة 11.27 % في بنغازي وبنسبة

λ = الحرارة الكامنة للبحر (ميغا جول/كجم).
 Rs = الإشعاع الشمسي قصير الموجة (ميغا جول/ $m^2/\text{اليوم}$).
8. معادلة الفاو الإشعاعية (FAO RD) FAO24 Radiation:
معادلة FAO RD هي في الأساس تحويل لمعادلة MK [18]، وتكتب المعادلة على النحو التالي [9]:

$$ET_0 = c(w \cdot R_s)$$

حيث أن: w = معامل وزني يعتمد على درجة الحرارة والإشعاع.
 c = معامل تعديل يعتمد على متوسط الرطوبة والرياح في النهار.

9. معادلة بريستلي-تايلور : (Priestley and Taylor, 1972)
تحتاج معادلة P-T إلى صافي الإشعاع الشمسي ودرجة الحرارة وتنكتب هذه المعادلة كالتالي [15]:

$$ET_0 = 1.26 \frac{\Delta}{\Delta + \gamma} (R_n - G) \frac{1}{\lambda}$$

10. معادلة تورك TC (Turc, 1961)
تعتمد معادلة TC على درجة الحرارة والرطوبة النسبية والإشعاع الشمسي وتنكتب في الصيغة الرياضية التالية : [33][36]

$$ET_0 = a_T 0.0133 \frac{T_m}{T_m + 15} \frac{23.8856 R_s + 50}{\lambda}$$

حيث $a_T = 1$ إذا كان متوسط الرطوبة النسبية (RH_m) أكبر من أو يساوي 50 % وإذا كان متوسط الرطوبة النسبية (RH_m) أقل من 50 % فتحسب a_T كالتالي:

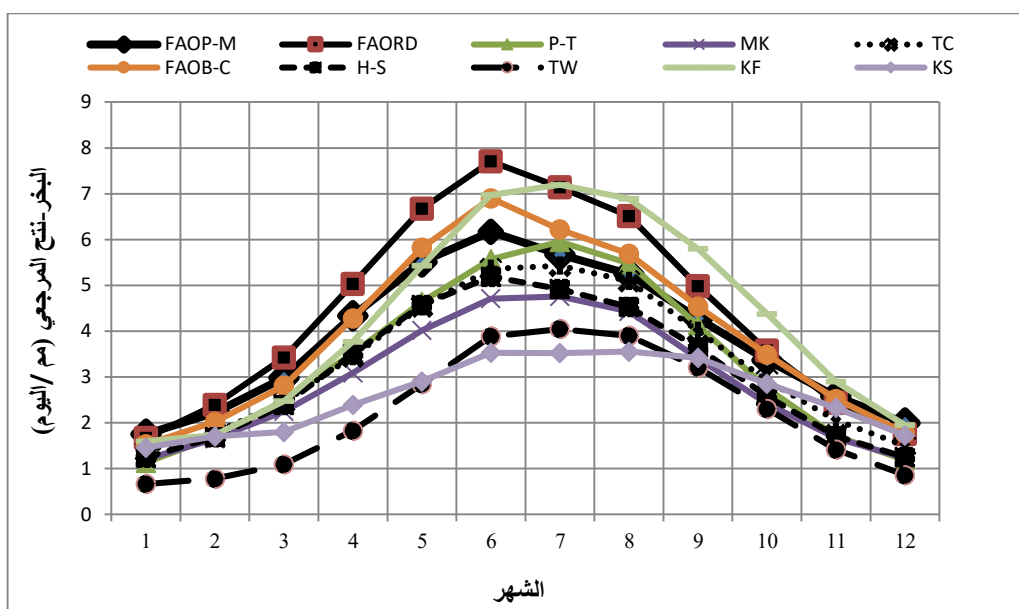
$$a_T = 1 + \left(\frac{50 - RH_m}{70} \right)$$

النتائج والمناقشة :

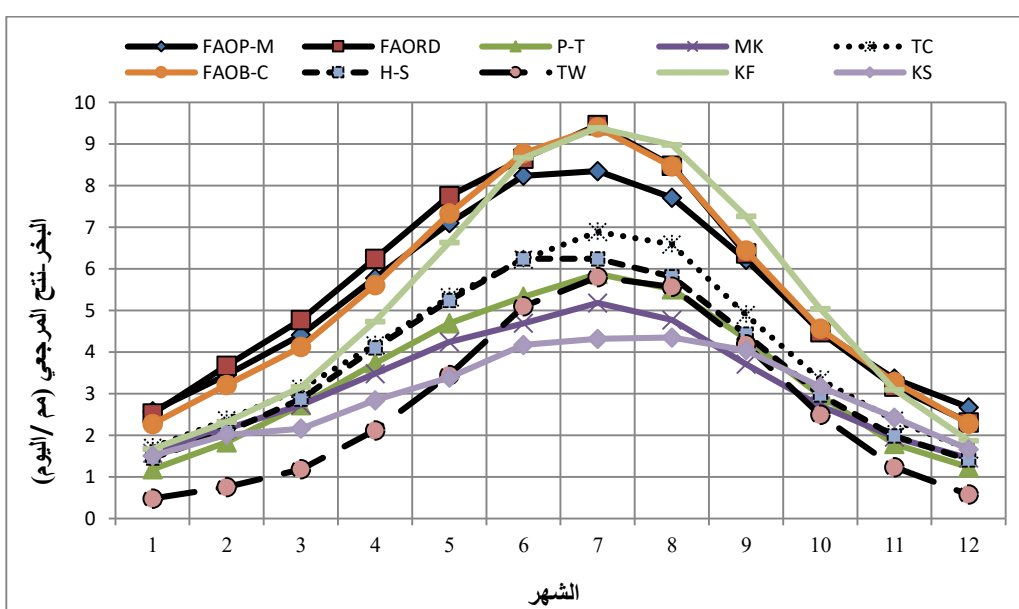
نتائج البحر-فتح المرجعي (ET_0) بالمليمتر في اليوم المتحصل عليها من تطبيق جميع المعادلات تم تمثيلها بيانياً في الأشكال من (1) إلى (5)، يلاحظ في هذه الأشكال بشكل عام انخفاض قيم ET_0 الناتجة من جميع المعادلات في منطقتي الدراسة خلال أشهر الشتاء. قد يُعزى ذلك إلى انخفاض درجات الحرارة والإشعاع الشمسي مع ارتفاع الرطوبة النسبية، بخلاف فصل الصيف الذي تكون فيه درجات الحرارة مرتفعة والإشعاع الشمسي مرتفع وقيم منخفضة للرطوبة النسبية الأمر الذي يؤدي إلى زيادة قيم ET_0 . أظهرت المعادلات المستخدمة أداءً مختلفاً مقارنةً بمعادلة FAO P-M القياسية في موقع المنطقة الجبلية ويلاحظ ذلك من النتائج المبينة في الشكلين (1) و (2).

في بنغازي، وبين 41.57% و 0.18% في سرت وبين 38.18% و 7.73% في طرابلس. يستثنى من ذلك تقديرات معادلة TC في سرت خلال شهر يونيو فقط حيث زادت في تقديرات ET_0 . قللت معادلة P-T في تقديرات ET_0 خلال جميع أشهر السنة وبلغ أكبر انخفاض 44.09% في طرابلس و 37.67% في بنغازي. أما في سرت فأظهرت معادلة P-T زيادة في تقديرات ET_0 خلال أشهر يونيو ويوليو وأغسطس وتتراوح نسبة الزيادة بين 19.69% و 2.63%， بينما خفضت في تقديرات ET_0 في بقية أشهر السنة وكانت نسبة التقليل تتراوح بين 46.44% و 4.82%.

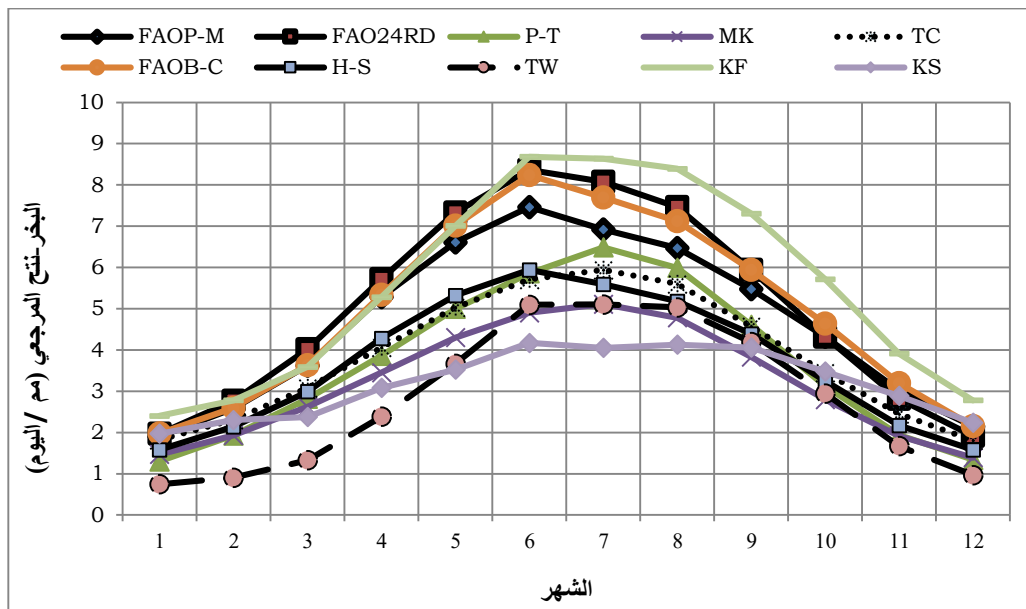
أظهرت TW أكبر انخفاض في تقديرات ET_0 بنسبة 69.30% خلال شهر فبراير في طرابلس وبنسبة 64.92% خلال شهر يناير في بنغازي وبنسبة 93.62% خلال شهر يناير في سرت. قللت معادلة KS من تقديرات ET_0 خلال أشهر السنة في بنغازي وطرابلس وسرت ونأتي بعد TW من حيث درجة التقليل. كان أكبر تقليل لمعادلة KS خلال الأشهر من مايو إلى أغسطس في بنغازي وطرابلس، بينما في سرت من شهر يونيو إلى شهر أغسطس. أدى تطبيق معادلات H-S، TC، و MK إلى انخفاض في تقديرات ET_0 خلال كل أشهر السنة في بنغازي وطرابلس وسرت بنساب متفاوتة تتراوح بين 36.42% و 4.21%.



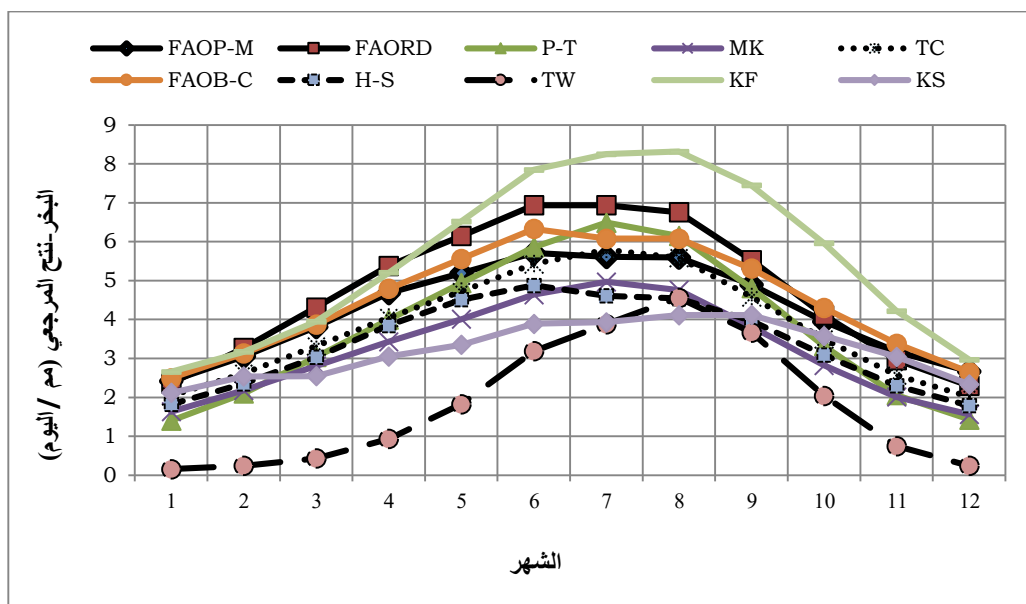
شكل (1): البخر-نتح المرجعي المقدر بالطرق المختلفة للمنطقة الجبلية بموقع شحات.



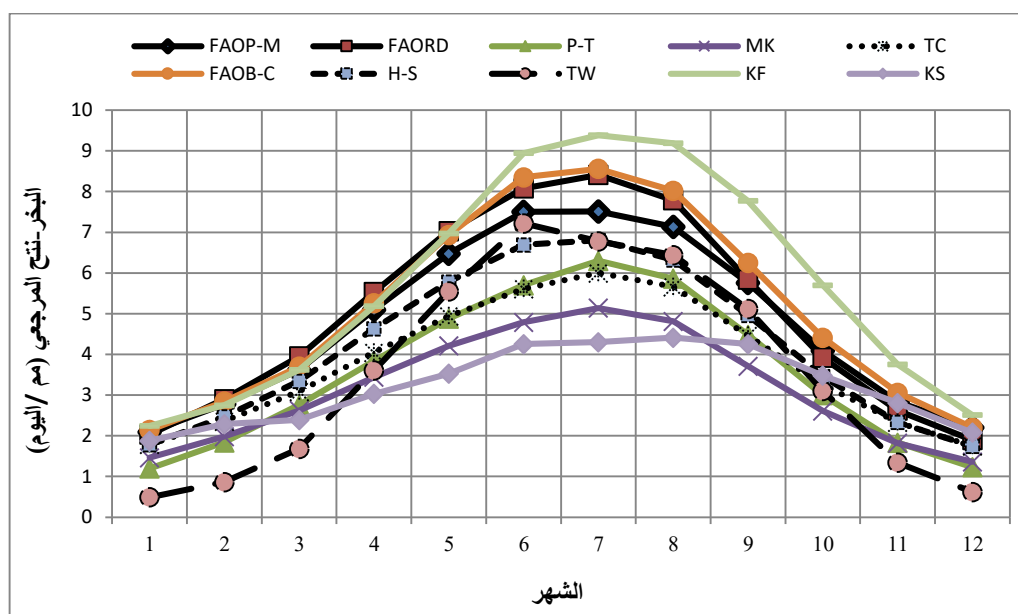
شكل (2): البخر-نتح المرجعي المقدر بالطرق المختلفة للمنطقة الجبلية بموقع نالوت.



شكل (3): البحرين-تحت المرجعي المقدر بالطرق المختلفة لمنطقة الساحلية بموقع بنغازي.



شكل (4): البحرين-تحت المرجعي المقدر بالطرق المختلفة لمنطقة الساحلية بموقع سرت.



شكل (5): البحر-نتح المرجعي المقدر بالطرق المختلفة للمنطقة الساحلية بموقع طرابلس.

0.949، وأعلى مؤشر للتواافق d بمقدار 0.989، وأعلى معامل تحديد R^2 بمقدار 0.996. كذلك في نالوت أعطت معادلة FAO B-C أعلى E و d بمقدار 0.990، 0.951 على التوالي. كما يوضح الجدولين (2) و(3) أن قيمة P-Value للمعادلات FAO B-C و KF في شحات ونالوت أكبر من درجة المعنوية 0.05 وهذا يدل على عدم وجود فروق معنوية بين هاتين المعادلتين ومعادلة FAO P-M. يوضح جدول (2) أن معادلة TC تأتي في المرتبة الثانية و معادلة P-T تأتي في المرتبة الثالثة و معادلة FAO RD تأتي في المرتبة الرابعة في شحات. كما يتضح من جدول (3) أن معادلة FAO RD تأتي في المرتبة الثانية ومعادلة KF تأتي في المرتبة الثالثة ومعادلة TC تأتي في المرتبة الرابعة في نالوت. بقيمة المعادلات تتبع عن معادلة FAO P-M بدرجات مقاونه وصولاً لمعادلة TW الأقل أداءً بين جميع المعادلات. كانت قيمة P-Value لبقية المعادلات وهي P-T، H-S، و TC، FAO RD، KS، MK، و TW أقل من درجة المعنوية 0.05 وهذا يدل على وجود فروق معنوية بين تلك المعادلات ومعادلة FAO P-M.

أجريت مجموعة من الاختبارات الإحصائية باستخدام حزمة من المعايير بناءً على توصيات من عدة مصادر [39][44][33][11] بعدم الاعتماد على بعض المعايير الإحصائية بمفردها لأنها قد تؤدي إلى استنتاج خاطئ. تم تصنيف المعادلات المستخدمة وفقاً لجودة أدائها اعتماداً على مدى تفوقها في الحصول على أفضل نتيجة في أكبر عدد من المعايير الإحصائية. وفيما يلي عرض لنتائج التحليل الإحصائي:

المنطقة الجبلية: يتضح من نتائج التحليل الإحصائي في موقع شحات ونالوت المدرجة في الجدولين (2) و(3) أن معادلة FAO B-C تحصلت على أفضل نتيجة في جميع المعايير الإحصائية المستخدمة وبالتالي حققت أفضل أداءً من جميع المعادلات المستخدمة وتحصلت على المرتبة الأولى. أعطت معادلة FAO B-C أقل قيمة في المعايير التالية : متوسط الجذر التربيعي لمربع الخطأ (RMSE) ومتodoسط خطأ التحيز (MBE) ونسبة متodoسط خطأ التحيز (%MBE)، وكانت قيمها في شحات 0.34 م/يوم، 0.12 على التوالي بينما كانت قيمها في نالوت 0.46 م/يوم، 0.11 م/يوم، 0.73 على التوالي.

أعطت معادلة FAO B-C في شحات أفضل كفاءة E بمقدار

جدول (2): نتائج التحليل الإحصائي للطرق المستخدمة في موقع شحات.

P-Value	t	E	d	R ²	%MBE	MBE	RMSE	الطريقة
0.222	1.29	0.949	0.989	0.996	0.27	0.12	0.34	FAOB-C
0.000*	-16.87	0.745	0.937	0.993	-21.79	-0.74	0.76	H-S
0.118	1.69	0.631	0.934	0.891	7.03	0.41	0.91	KF
0.001*	-4.67	-0.038	0.703	0.796	-28.64	-1.24	1.53	KS
0.000*	-10.48	0.568	0.890	0.977	-26.21	-0.94	0.99	MK
0.002*	-4.21	0.828	0.963	0.958	-17.21	-0.49	0.62	P-T
0.008*	3.24	0.674	0.945	0.995	11.20	0.60	0.86	FAO RD
0.000*	-6.91	0.856	0.964	0.973	-15.16	-0.51	0.57	TC
0.000*	-9.54	-0.295	0.732	0.867	-45.58	-1.61	1.70	TW

جدول (3) : نتائج التحليل الإحصائي للطرق المستخدمة في موقع نالوت.

P-Value	t	E	d	R ²	%MBE	MBE	RMSE	الطريقة
0.412	0.85	0.951	0.990	0.994	-0.73	0.11	0.46	FAO B-C
0.000*	-18.24	0.102	0.846	0.999	-33.26	-1.63	1.66	H-S
0.642	-0.48	0.804	0.964	0.942	-8.02	-0.13	0.91	KF
0.000*	-6.72	-0.636	0.646	0.879	-42.45	-2.36	2.63	KS
0.000*	-8.67	-0.242	0.711	0.992	-40.15	-2.15	2.30	MK
0.000*	-14	0.069	0.785	0.990	-39.00	-1.93	1.99	P-T
0.037*	2.37	0.941	0.988	0.992	3.35	0.29	0.50	FAO RD
0.000*	-13.1	0.570	0.893	0.986	-26.50	-1.31	1.35	TC
0.000*	-14.14	-0.708	0.705	0.912	-55.29	-2.62	2.69	TW

ملاحظة: * تدل على وجود فروق معنوية.

تحديد R^2 بمقدار 0.993. يلاحظ من جدول (4) أن ترتيب أداء بقية المعادلات في موقع بنغازي كالتالي: معادلة FAO RD تأتي في المرتبة الثانية، ومعادلة TC تأتي في المرتبة الثالثة، ومعادلة KF تأتي في المرتبة الرابعة. نستنتج من جدول (5) أن ترتيب أداء بقية المعادلات في موقع سرت كالتالي: معادلة TC تأتي في المرتبة الثانية، ومعادلة FAO RD تأتي في المرتبة الثالثة، ومعادلة P-T في المرتبة الرابعة. يتبيّن من جدول (6) أن ترتيب أداء بقية المعادلات في موقع طرابلس كال التالي: معادلة FAO B-C تأتي في المرتبة الثانية، ومعادلة H-S تأتي في المرتبة الثالثة، ومعادلة KF تأتي في المرتبة الرابعة. اختلف أداء بقية المعادلات بدرجات متفاوتة في كل المواقع حيث تباين ترتيب بقية المعادلات بعد المرتبة الرابعة وفقاً لمدى قرب نتائجها من معادلة FAO P-M. المعادلات المتبقية تشمل H-S، و MK في بنغازي و سرت و P-T في بنغازي وطرابلس و KF في سرت و KS، و MK في TC، و MK في طرابلس. كان أسوأ أداء لمعادلة TW في جميع المواقع. يوضح جدول (4) أن قيمة P-Value في بنغازي لجميع المعادلات أقل من درجة المعنوية 0.05 وهذا يدل على وجود فروق معنوية بين هذه المعادلات و معادلة FAO P-M. كما يتبيّن جدول (5) وجدول (6) أن قيمة P-Value لمعادلة FAO P-M في سرت، و معادلة FAO RD في طرابلس أكبر من درجة المعنوية 0.05 وهذا يدل على عدم وجود فروق معنوية بين نتائج المعادلتين و نتيجة معادلة FAO P-M. كما يتضح أيضاً من الجدولين (5) و (6) أن قيمة P-Value في سرت و طرابلس لبقية المعادلات تكون أقل من درجة المعنوية 0.05، باستثناء معادلة FAO RD في طرابلس و معادلة P-T في سرت، وهذا يدل على وجود فروق معنوية بين نتائج تلك المعادلات و معادلة FAO P-M.

المنطقة الساحلية: نتائج التحليل الإحصائي للطرق المستخدمة في حساب ET_0 في موقع المنطقة الساحلية مدرجة في الجداول (4) و (5). يتضح من الجداولين (4) و (5) أن معادلة FAO B-C حققت أفضل أداء في بنغازي و سرت وفقاً لجميع المعايير الإحصائية المستخدمة باستثناء اختبار(t). يرجع حصول معادلة FAO B-C على هذه الأفضلية إلى تفوقها في أكبر عدد من الاختبارات الإحصائية حيث حققت أقل قيمة لمتوسط الجذر التربيعي لمربع الخطأ RMSE بمقدار 0.42 مم/يوم في بنغازي، و 0.33 مم/يوم في سرت. كما حققت معادلة FAO B-C أقل قيمة لمتوسط خطأ التحيز MBE بمقدار 0.31 مم/يوم في بنغازي، و 0.27 مم/يوم في سرت. كما أظهرت معادلة FAO B-C أقل قيمة لنسبة متوسط خطأ التحيز %MBE بمقدار 5.54% في بنغازي، و 5.60% في سرت. كما أعطت معادلة FAO B-C أفضل كفاءة E بمقدار 0.950، وأعلى مؤشر للتوفيق d بمقدار 0.989، وأعلى معامل تحديد R^2 بمقدار 0.996 في بنغازي. كما أعطت معادلة FAO B-C في سرت أفضل كفاءة E بمقدار 0.917، وأعلى مؤشر للتوفيق d بمقدار 0.982، وأعلى معامل تحديد R^2 بمقدار 0.994. حققت معادلة FAO B-C أفضل أداءً بين المعادلات مما يجعلها الأقرب لمعانلة FAO P-M في بنغازي و سرت. يتضح من نتائج التحليل الإحصائي المبينة في جدول (6) أن معادلة FAO RD كانت الأفضل أداءً في طرابلس حيث كانت لها أقل قيمة لمتوسط الجذر التربيعي لمربع الخطأ (RMSE) بمقدار 0.45 مم/يوم، وأعطت أقل قيمة لمتوسط خطأ التحيز (MBE) بمقدار 0.24 مم/يوم. كما حققت معادلة FAO RD أيضاً أقل قيمة لنسبة متوسط خطأ التحيز %MBE بمقدار 2.73%. كما أعطت معادلة FAO RD في طرابلس أفضل كفاءة E بمقدار 0.950 وأعلى مؤشر للتوفيق d بمقدار 0.989 وأعلى معامل

جدول (4): نتائج التحليل الإحصائي للطرق المستخدمة في موقع بنغازي.

P-Value	t	E	d	R ²	%MBE	MBE	RMSE	الطريقة
0.004*	3.62	0.950	0.989	0.996	5.54	0.31	0.42	FAO B-C
0.000*	-8.49	0.711	0.919	0.995	-20.72	-0.95	1.02	H-S
0.001*	4.33	0.652	0.932	0.936	19.58	0.89	1.12	KF
0.002*	-4.00	-0.001	0.688	0.846	-24.76	-1.46	1.90	KS
0.000*	-7.54	0.310	0.810	0.975	-30.73	-1.44	1.58	MK
0.000*	-8.01	0.699	0.926	0.957	-23.51	-0.96	1.04	P-T
0.011*	3.06	0.899	0.980	0.992	6.38	0.41	0.60	FAO RD
0.000*	-5.65	0.742	0.924	0.978	-16.59	-0.83	0.96	TC
0.000*	-9.67	-0.022	0.782	0.897	-43.63	-1.81	1.92	TW

جدول (5): نتائج التحليل الإحصائي للطرق المستخدمة في موقع سرت.

P-Value	t	E	d	R ²	%MBE	MBE	RMSE	الطريقة
0.001*	4.43	0.917	0.982	0.994	5.60	0.27	0.33	FAO B-C
0.000*	-21.91	0.464	0.878	0.990	-20.98	-0.84	0.85	H-S
0.001*	4.33	-1.049	0.770	0.909	27.85	1.31	1.65	KF
0.000*	-5.25	-0.074	0.718	0.776	-21.93	-1.01	1.20	KS
0.000*	-18.87	0.210	0.843	0.977	-25.92	-1.01	1.03	MK
0.051	-2.19	0.540	0.930	0.974	-15.35	-0.43	0.78	P-T
0.010*	3.1	0.566	0.931	0.989	9.45	0.52	0.76	FAO RD
0.000*	-5.27	0.850	0.968	0.980	-10.71	-0.38	0.45	TC
0.000*	-7.96	-3.825	0.561	0.741	-62.82	-2.41	2.54	TW

جدول (6): نتائج التحليل الإحصائي للطرق المستخدمة في موقع طرابلس.

P-Value	t	E	d	R ²	%MBE	MBE	RMSE	الطريقة
0.004*	3.67	0.932	0.986	0.996	6.61	0.39	0.52	FAO B-C
0.000*	-9.66	0.910	0.976	0.997	-12.76	-0.57	0.60	H-S
0.003*	3.77	0.629	0.933	0.948	17.49	0.91	1.22	KF
0.001*	-4.20	0.045	0.700	0.862	-26.62	-1.53	1.95	KS
0.000*	-7.56	0.239	0.788	0.991	-33.33	-1.59	1.74	MK
0.000*	-14.24	0.631	0.907	0.992	-27.97	-1.18	1.21	P-T
0.053	2.17	0.950	0.989	0.993	2.73	0.24	0.45	FAO RD
0.000*	-6.24	0.690	0.907	0.994	-19.60	-0.98	1.11	TC
0.000*	-9.93	0.113	0.817	0.913	-44.02	-1.78	1.88	TW

ملاحظة: * تدل على وجود فروق معنوية.

- الإحصائية التي تم استخدامها باستثناء اختبار (t) الذي أظهر وجود فروق معنوية بين معادلة الفاو بلاني-كريدل ومعادلة الفاو بنمان-مونتيث في المنطقة الساحلية.
- أن معادلتني خوسلا وثورنثويت أضعف المعادلات من حيث الأداء مقارنة بمعادلة الفاو بنمان-مونتيث وهذا يدل على عدم نجاح استخدام المعادلتين في المناطق

الاستنتاج:
بناءً على النتائج المتحصل عليها يمكن استنتاج الآتي:
1- إن معادلة الفاو بلاني-كريدل هي أفضل المعادلات في الأداء مقارنة بمعادلة الفاو بنمان-مونتيث في منطقتي الدراسة، حيث كانت في جميع المواقع باستثناء طرابلس في المرتبة الأولى من حيث قربها من معادلة الفاو بنمان-مونتيث، وذلك حسب المعايير

- Experimental Biology, 19:205-234. University Press: Cambridge.
- [9]- Doorenbos, J. and W. O. Pruitt (1977). Guidelines for predicting crop water requirements. *Food and Agriculture Organization (FAO), Irrigation and Drainage Paper No. 24*. Food and Agriculture Organization of United Nations, Rome. pp.156.
- [10]- Pereira, L. S.; R. G. Allen; M. Smith and D. Raes (2015). Crop evapotranspiration estimation with FAO56: Past and future. *Agricultural Water Management*, 147: 4-20.
- [11]- Pandey, P.K., P.P. Dabral, and V. Pandey (2016). Evaluation of Reference Evapotranspiration Methods for the Northeastern Region of India. *International Soil and Water Conservation Research*, 4(1):52-63.
- [12]- Gao, F.; G. Feng; Y. Ouyang; H. Wang; D. Fisher; A. Adeli and J. Jenkins (2017). Evaluation of reference evapotranspiration methods in arid, semiarid and humid regions. *Journal of the American Water Resources Association*. 53(4):791-808.
- [13]- Djaman, K.; A. B. Balde; A. Sow; B. Muller; S. Irmak; M. K. N'Diaye; B. Manneh and K. Saito (2015). Evaluation of sixteen reference evapotranspiration methods under Sahelian conditions in the Senegal River valley. *Journal of Hydrology: Regional Studies*, 3: 139-159.
- [14]- Joshani, A.; J. K. Dastjerdi and H. Z. Abyaneh (2015). Evaluating Different Estimation methods of reference evapotranspiration with FAO Evaporation pan in both dry and Humid Climate of Caspian Sea Basin. *Bulletin of Environment, Pharmacology and Life Sciences*. 4 (2) : 190-200.
- [15]- مؤمن، محمد عبد الكريم وأسماء عبد الحميد عبد العاطي (2016). مقارنة لبعض الطرق الحسابية للبحر - النتح المرجعي بمنطقة شحات بالجبل الأخضر - ليبيا. جامعة عمر المختار، البيضاء، ليبيا. مجلة المختار للعلوم. 16-1(1):31
- [16]- Thornthwaite, C. W. (1948). An approach towards a rational classification of climate. *Geographical Review*, 38:55-94.
- [17]- Blaney, H. F. and W. D. Criddle (1950). Determining water requirements in irrigated areas from climatological and irrigation data. *Soil Conservation Service Technical Paper 96*. Soil Conservation Service, U.S. Dept. of Agriculture: Washington, D.C.
- [18]- 18.Makkink, G. F. (1957). Testing the Penman formula by means of lysimeters.

التي يسود فيها مناخ البحر المتوسط والمناطق الجبلية وبالتالي لا يوصى باستخدامهما في تلك المناطق.

3- عند إجراء اختبار (t) أظهرت النتائج وجود فروق معنوية بين معادلة الفاو بنمان-مونتيث وجميع المعادلات المستخدمة في بنغازي. كما بيّنت نتائج اختبار (t) في سرت جود فروق معنوية بين معادلة الفاو بنمان-مونتيث وجميع المعادلات باستثناء معادلة بريستلي-تايلور. كذلك في طرابلس توجد فروق معنوية بين معادلة الفاو بنمان-مونتيث وجميع المعادلات باستثناء معادلة الإشعاع للفاو.

المراجع:

- [1]- Allen, R. G.; L. S. Pereira; D. Raes and M. Smith (1998). *Crop Evapotranspiration: Guidelines for computing crop water requirements. Irrigation and Drainage Paper No. 56*, United Nation Food and Agriculture Organization, Rome, Italy, 300 pp.
- [2]- Qiu, G.Y.; K. Miyamoto; S. Sase; Y. Gao; P. Shi and T. Yano (2002). Comparison of the Three-Temperature model and conventional models for estimating transpiration. *Japanese Agricultural Research Quarterly*. 36(2):73-82.
- [3]- Brotzge, J. A. and K. Crawford (2003). Examination of the surface energy budget: A comparison of eddy correlation and Bowen ratio measurement systems. *Journal of Hydrometeorology* 4(2):160-179.
- [4]- Payero, J. O.; C. M. U. Neal; J. L. Wright and R. G. Allen (2003). Guidelines for Validating Bowen Ratio Data. *Transactions of the ASAE* 46(4):1051-1060.
- [5]- Irmak, S. ; A. Irmak; T. .A. Howell; D. L. Martin; J. O. Payero and K. S. Copeland (2008). Variability analyzes of alfalfa-reference to grass reference evapotranspiration ratios in growing and dormant seasons. *Journal of Irrigation and Drainage Engineering*, 134(2): 147–159.
- [6]- عواد، فوزي بن سعيد ومحمد بن إبراهيم السعود (2006). *البحر-نتح للمحاصيل تليل تقدير الاحتياجات المائية*. النشر العلمي والمطابع، جامعة الملك سعود، المملكة العربية السعودية.
- [7]- Penman, H. L. (1948). Natural evaporation from open water, bare soil, and grass. *Proceedings of the Royal Society of London*, A193:120-146.
- [8]- Monteith, J. L. (1965). Evaporation and environment. 19th Symposia of the Society for

- [30]- Joshani, A.; J. K. Dastjerdi and H. Z. Abyaneh (2015). Evaluating different estimation methods of reference evapotranspiration with FAO evaporation pan in both dry and humid climate of Caspian sea basin. *Bulletin of Environment, Pharmacology and Life Sciences*, 4 (2) : 190-200.
- [31]- Mendonça, J. C.; E. F. Sousa; S. Bernardo; G. P. Dias and S. Grippa (2003). Comparison of different methods for estimating reference evapotranspiration (ET₀) in North Fluminense RJ region. (in Portuguese) *Brazilian Journal of Agricultural and Environmental Engineering*, 7(2):275-279.
- [32]- Mohawesh, O. E. (2011). Evaluation of evapotranspiration models for estimating daily reference evapotranspiration in arid and semiarid environments. *Plant Soil and Environment*, 57 (4):145–152.
- [33]- Yoder, R. E.; L. O. Odhiambo and W. C. Wright (2005). Evaluation of methods for estimating daily reference crop evapotranspiration at a site in the humid southeast United States. *Applied Engineering in Agriculture*, 21(2):197–202.
- [34]- Smith, M.; R. G. Allen; J. L. Monteith; L. S. Pereira; A. Perrier and W. O. Pruitt (1991). Report on the expert consultation on procedures for revision of FAO guidelines for prediction of crop water requirements. Land and Water Development Division, United Nations Food and Agriculture Service: Rome.
- [35]- Ventura, F.; D. Spano; P. Duce and R. L. Snyder (1999). An evaluation of common Evapotranspiration equations. *Irrigation Sciences*. 18:163-170.
- [36]- Allen, R. G. and G. Z. Li (2016). Ref-ET user's guide. Reference evapotranspiration calculation software for FAO and ASCE standardized equations; version 4.1 for Windows: University of Idaho, Kimberly Research and Extension Center ID, USA.
- [37]- Jacovides, C. P. and H. Kontoyiannis (1995). Statistical procedures for the evaluation of evapotranspiration computing models. *Agricultural Water Management*, 27(3–4):365–371.
- [38]- Kwon, H. and M. Choi (2011). Error assessment of climate variables for FAO-56 reference evapotranspiration. *Meteorology and Atmospheric Physics* 112(1–2):81–90.
- [39]- Legates, D. R. and G. J. McCabe (1999). Evaluating the use of “goodness-of-fit” measures in hydrologic and hydroclimatic model validation. *Water Resources Research*. 35(1): 233–241.
- [40]- Sabziparvar, A. A. and H. Tabari (2010). Regional estimation of reference *Journal of the Institution of Water Engineering*, 11(3):277-288.
- [19]- Turc, L. (1961). Estimation of irrigation water requirements, potential evapotranspiration: A simple climatic formula evolved up to date. *Annales Agronomiques*, 12(1): 13-49.
- [20]- Priestley, C. H. B and R. J. Taylor (1972). On the assessment of surface heat flux and evaporation using large-scale parameters. *Monthly Weather Review*, 100(2): 81-92.
- [21]- Hargreaves, G. H. and Z. A. Samani (1985). Reference crop evapotranspiration from temperature. *Applied Engineering in Agriculture*, 1(2):96-99.
- [22]- Jensen, M. E.; R. D. Burman and R. G. Allen (1990). Evapotranspiration and irrigation water requirements. ASCE Manuals and Reports of Engineering Practice No. 70. New York.
- [23]- Amatya, D. M; R. W. Skaggs and J. D. Gregory (1995). Comparison of methods for estimating REF-ET. *Journal of Irrigation and Drainage Engineering*, 121(6):427-435.
- [24]- Tabari, H.; M. E. Grismer and S. Trajkovic (2013). Comparative analysis of 31 references evapotranspiration methods under humid conditions. *Irrigation Science*, 31: 107-117.
- [25]- Córdova, M.; G. Carrillo-Rojas; P. Crespo; B. Wilcox and R. Céller (2015). Evaluation of the Penman-Monteith (FAO 56 PM) method for calculating reference evapotranspiration using limited data. *Mountain Research and Development*, 35(3):230-239.
- [26]- Chen, D.; G. Gao; C. Y. Xu; J. Guo and G. Ren (2005). Comparison of the Thornthwaite method and pan data with the standard Penman-Monteith estimates of reference evapotranspiration in China. *Climate Research*, 28:123-132.
- [27]- Chen, J.; H. Yeh; C. Lee and W. Lo (2005). Optimal comparison of empirical equation for estimating potential evapotranspiration in Taiwan. In: XXXI IAHR Congress. September 11-16, Seoul, Korea.
- [28]- Sentelhas, P. C.; T. J. Gillespie and E. A. Santos (2010). Evaluation of FAO Penman-Monteith and alternative methods for estimating reference evapotranspiration with missing data in Southern Ontario, Canada. *Agricultural Water Management*, 97:635–644.
- [29]- Gao, F.; G. Feng; Y. Ouyang; H. Wang; D. Fisher; A. Adeli and J. Jenkins (2017). Evaluation of reference evapotranspiration methods in arid, semiarid and humid regions. *Journal of the American Water Resources Association*, 53(4):791-808.

evapotranspiration in arid and semi-arid regions. *Journal of Irrigation and Drainage Engineering*. ASCE 136 (10), 724–731.

- [41]- Sheikh, V. and M. Mohammadi (2013). Evaluation of reference evapotranspiration equations in semi-arid regions of northeast of Iran. *International Journal of Agriculture and Crop Sciences*, 5 (5): 450-456.

-الرجبو، وليد أسمير وخضر جاسم ومختلف شلال (2008). دراسة التبخر-نتح المرجعي في محافظة نينوى بإستخدام عدة نماذج رياضية. كلية التربية، جامعة الموصل. مجلة علوم الرافدين 19 (3): 173-154.

-محمد، طه رزوف شير (2008). التباين المكاني في الضياع المائي بواسطة عملية التبخر-نتح الممكن في العراق- دراسة نقدية مقارنة لإستخدام معادلتي ثورنثويت وخوسلا، جامعة بغداد. مجلة أبحاث البصرة (العلوم الإنسانية). 140-117: (1)33.

- [44]- Najafi, M; M. Salarian; S. Eslamian; K. Ostad-Ali-Askari; V. P. Singh and N. R. Dalezios (2019). Evaluation of Radiation Methods for Calculating the Water Requirement of Grass in Two Different Climates using REF-ET Software. *International Journal of Constructive Research in Civil Engineering* 5(1): 1-7.